

УДК 533.608

ТЕЧЕНИЕ В ВИХРЕВОЙ ПЛОСКОРАДИАЛЬНОЙ КАМЕРЕ

1. ЭКСПЕРИМЕНТАЛЬНОЕ ИССЛЕДОВАНИЕ ПОЛЯ СКОРОСТЕЙ В ПЕРЕХОДНОМ И СТАЦИОНАРНОМ РЕЖИМАХ

Ф. А. Быковский, Е. Ф. Ведерников

Институт гидродинамики им. М. А. Лаврентьева СО РАН, 630090 Новосибирск

Предложены две методики определения скорости потока в вихревой камере плоскорадиальной геометрии в переходном и стационарном режимах течения. Измерены скорости потока во всем объеме камеры, отмечен вихревой характер течения. Выявлен эффект концентрации частиц тяжелее воздуха в торцевом пограничном слое.

В работах [1, 2] описано самовоспламенение топливных смесей, наблюдаемое в вихревых камерах плоскорадиальной геометрии, диаметр которых намного больше высоты ($d_k \gg Z$). Механизм самовоспламенения оказался невыясненным, поэтому возникла необходимость определения параметров течения, в частности скорости потока в вихревых камерах такой геометрии. Имеющиеся теоретические работы [3, 4] и экспериментальные методики [5, 6] не позволяют определять скорости потока с учетом сжимаемости, тем более в переходном режиме. В настоящей работе предлагаются методики определения скорости потока в стационарном и переходном режимах. Используются: 1) прямой метод измерения скорости с помощью треков светящихся частиц; 2) косвенный, основанный на измерениях температуры, полного и статического давлений.

1. Вихревая камера и установка. Схема камеры и установки изображена на рис. 1. Вихревой канал представлял собой полузамкнутый объем, ограниченный плоскими стенками, отстоящими друг от друга на расстоянии $Z = 15$ мм, и цилиндрической поверхностью $d_k = 204$ мм. Одна из радиальных стенок, изготовленная из стали, имеет выходное отверстие $d = 40$ мм, другая изготовлена из оргстекла. По цилиндрической поверхности на расстоянии 3 мм от стенки из оргстекла равномерно расположено 300 отверстий сечением $1,2 \times 0,5$ мм, направленных под углом 30° к касательной к окружности. Равномерная подача воздуха через отверстия осуществлялась коллектором, сечение которого в 2,2 раза больше сечения отверстий. Воздух в камеру 1 подавался из ресивера 2 через клапаны 3, время срабатывания которых не превышало 1 мс. Объем ресивера V_p составляет 3,6 л. В ряде опытов для реализации стационарного режима использовался ресивер объемом 80 л. Начальное давление воздуха во всех опытах устанавливалось $100 \cdot 10^5$ Па и регистрировалось манометром 4, а опорожнение — датчиком 5.

Объем коллектора, через который происходит истечение воздуха из ресивера в камеру, сравним с объемом камеры: 0,3 и 0,5 л соответственно. Поэтому в переходном режиме происходило также заполнение коллектора, и расход воздуха в камеру возрастал от нуля до некоторой максимальной величины, а затем уменьшался по мере опорожнения ресивера. По оценкам, полученным на основании измерений давления в коллекторе и условий сверхкритического истечения из отверстий, расход воздуха в камеру через 10 мс соста-

Работа выполнена при финансовой поддержке Российского фонда фундаментальных исследований (код проекта 96-02-19121a).

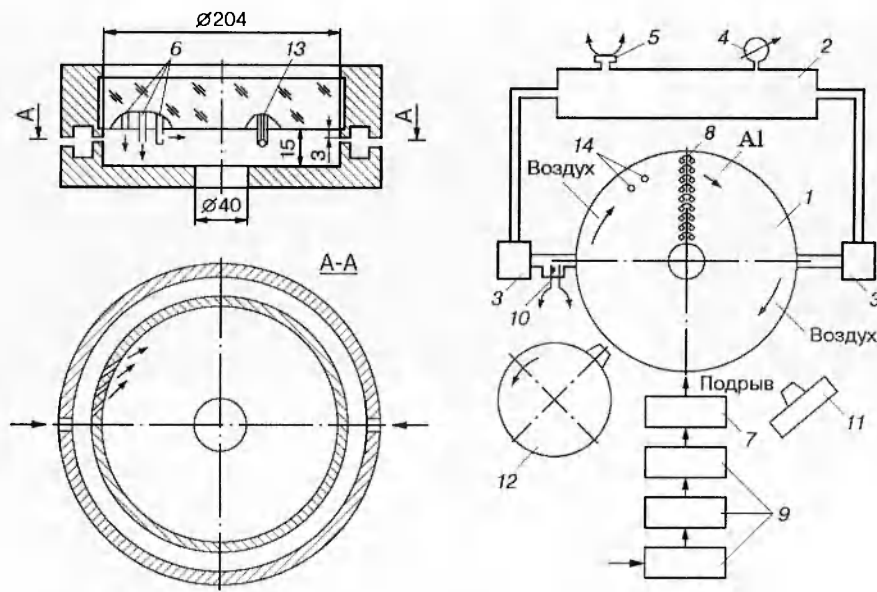


Рис. 1. Схема экспериментальных камеры и установки:

1 — камера; 2 — ресивер; 3 — клапаны; 4 — манометр; 5 — датчик давления; 6 — каналы для выброса частиц алюминия; 7 — блок для взрывания полосок фольги; 8 — полоски фольги; 9 — осциллографы; 10 — контактный датчик; 11 — фотоаппарат; 12 — фоторегистратор; 13 — термопара; 14 — гнезда для датчиков давления

влял около 2 кг/с. В то же время расход воздуха из ресивера, рассчитанный по изменению в нем давления [7], был вдвое больше.

2. Методика измерения скорости потока с помощью треков. Треки создавались путем впрыска в поток воздуха продуктов пережигания электрическим током полосок из алюминиевой фольги длиной 3 мм и сечением с площадью $0,05 \times (0,3 \div 0,4)$ мм². Попадая в поток, частицы алюминия начинали увлекаться воздухом, гореть и ярко светиться. Для уменьшения разброса продуктов пережигания в стороны и устранения препятствий потоку полоски фольги углублялись в каналы стенки камеры 6 на 6 мм. В ряде экспериментов в канал вставлялась пластмассовая трубочка для выброса продуктов на различном расстоянии от стенки. Иногда она запаивалась, и выброс продуктов происходил в плоскости камеры через боковое отверстие диаметром 0,5 мм (рис. 1).

Подрыв фольги производился разрядом конденсатора емкостью 10^{-2} Ф и начальным напряжением 46 В с помощью классической электрической схемы [8]. На каждую пережигаемую полоску фольги составлялась разрядная цепь. Все цепи объединялись в одном блоке 7. Для максимально возможного охвата течения вдоль радиуса камеры на расстоянии 20, 30, 40, 50, 60, 70, 80, 91, 98 мм от центра устанавливалось 9 взрывающихся полосок фольги 8. Время подачи импульсов на подрыв задавалось тремя осциллографами 9, запускаемыми от контактного датчика 10 при возникновении течения в подводящем трубопроводе.

Съемка движущихся горящих частиц алюминия производилась фотоаппаратом 11 с открытым затвором и одновременно барабанным фоторегистратором 12 с пленкой, движущейся по окружности со скоростью 100 м/с (рис. 1). На неподвижной пленке фиксировались траектории частиц от начала их выброса в поток до полного сгорания или выхода из камеры (рис. 2, а), а на подвижной пленке осуществлялась развертка движения горящих частиц (рис. 2, б). Для наглядности показаны развертки от подрыва одной полоски фольги. При подрыве девяти полосок фольги картина загромождалась, но была вполне обрабатываема. На рис. 2, а видны непрозрачные полоски, наклеенные вдоль радиусов через углы



Рис. 2. Треки горящих частиц алюминия:
а — на неподвижной пленке; б — на движущейся пленке (для одной полоски фольги)

$\Delta\alpha = 22,5^\circ$. На развертке (рис. 2, б) эти полоски прерывали свечение частиц и определяли их координаты в данный момент времени. Горизонтальные полоски не фиксировали координату частицы по радиусу, но задавали на развертке горизонтальную линию, удобную в качестве начала отсчета.

Рис. 2, а позволяет по началу траекторий частиц построить мгновенную линию тока воздуха, проходящую через точку выброса частиц, так как они увлекаются по направлению движения воздуха, вернее, по касательной к линии тока. Далее на горящие частицы начинают действовать центробежные силы и силы сопротивления среды, под действием которых происходит сепарация частиц: частицы легче воздуха движутся к центру, тяжелее — к периферии. Часто пучок частиц был расходящимся и за направление линии тока принимались углы, совпадающие с биссектрисами пучков.

Точность геометрического построения линии тока по фиксированным направлениям скоростей зависела от плавности сопряжения отдельных элементов линии тока. Наиболее точное сопряжение имело место, когда касательные пересекались в середине сектора между радиусами, через которые проходили две соседние касательные (рис. 3). Направления скоростей и их величины вдоль различных линий тока вдоль радиуса переносились на одну линию тока, пересекающую многие радиусы камеры. Такая операция возможна, если параметры потока воздуха вдоль цилиндрических поверхностей одного и того же радиуса и на определенной высоте камеры одинаковы, что имеет место (если не учитывать возможные флюктуации параметров) в силу осевой симметрии камеры и подачи воздуха

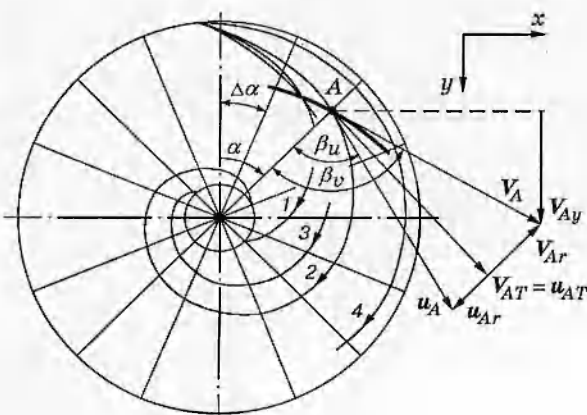


Рис. 3. Линии тока в момент времени $t = 10$ мс:
1 — в торцевом пограничном слое; 2–4 — в ядре потока

через большое число отверстий, равномерно расположенных по кольцу цилиндрической поверхности.

На рис. 3 представлено несколько линий тока (жирной линией показана часть траектории частицы алюминия). Для вывода формул, по которым вычисляется скорость потока вдоль линии тока, например линии 2, возьмем с развертки точку пересечения траектории частицы с непрозрачной полоской и в силу осевой симметрии течения перенесем ее на линию тока с той же радиальной координатой (точка A на рис. 3; см. также рис. 2,б). Разложение скоростей частицы V_A и потока u_A по касательной к окружности V_{AT} , u_{AT} и радиусу V_{Ar} , u_{Ar} показывает, что для определения скорости потока u_A необходимо определить скорость частицы V_A и принять условие равенства окружных составляющих $V_{AT} = u_{AT}$. Это условие следует также из решения дифференциальных уравнений движения частицы по радиусу и окружности камеры.

Исходя из уравнения движения частицы вдоль радиуса $F_r - F_c = ma_r$, произведем необходимые подстановки: $mV_T^2/r - C_D\rho_u[(V_r - u_r)^2/2]\pi D^2/4 = m dV_r/dt$ или $(\rho_v\pi D^3/6)V_T^2/r - C_D\rho_u[(V_r - u_r)^2/2]\pi D^2/4 = (\rho_v\pi D^3/6) dV_r/dt$. Окончательно $D = (3/4)(\rho_u/\rho_v)C_D(V_r - u_r)^2/(V_T^2/r - dV_r/dt)$, где F_r и F_c — центробежная сила и сила сопротивления среды; a_r и m — нормальное ускорение и масса частицы; ρ_u и ρ_v — плотность воздуха и алюминия соответственно; D — диаметр частицы; C_D — коэффициент сопротивления потока; r — радиус, на котором находится частица.

Ограничимся оценкой размера одной частицы по данным, взятым из расчета потока. При $r = 65$ мм, $\rho_u = 52$ кг/м³, $\rho_v = 2,7 \cdot 10^3$ кг/м³, $V_r - u_r = 16$ м/с, $V_T = 158$ м/с, $\Delta V_r = 8$ м/с, $\Delta t = 10^{-4}$ с, $C_D = 0,4$ для числа Рейнольдса $Re = 3 \cdot 10^3$ получим $D = 4,8$ мкм. Проследив движение частицы в камере, по изменению диаметра можно определять и степень ее выгорания.

Исходя из уравнения движения частицы по окружности $F_c = m dV_T/dt$, или $C_D\rho_u[(V_T - u_T)^2/2]\pi D^2/4 = (\rho_v\pi D^3/6) dV_T/dt$, получим $(V_T - u_T)^2 = (4/3)(\rho_v/\rho_u)(D/C_D) \times dV_T/dt$. Обозначим $V_T - u_T = \Delta V_T$ и, решая дифференциальное уравнение, приняв $\Delta V_T = -158$ м/с при $t = 0$, получим $-\Delta V_T = 1/(1,2 \cdot 10^3 t - 0,0063)$. Уже при $t = 0,2$ мс разность в скоростях частицы и потока составляет 4 м/с, что не превышает максимально возможной ошибки измерения скоростей. Следовательно, принятое ранее условие $V_T = u_T$ вполне оправданно.

Как следует из рис. 3: $y = ky'$, $V_{Ay} = V'k(\Delta y'/\Delta x')/[1 \pm (\Delta y'/\Delta x') \operatorname{tg}(\pm\beta_v \mp \alpha)]$, $V_A = V_{Ay}/\cos(\beta_v - \alpha)$, $V_{AT} = V_A \cos(90^\circ - \beta_v)$, $V_{Ar} = V_A \sin(90^\circ - \beta_v)$, $u_{AT} = V_{AT}$, $u_A = u_{AT}/\cos(90^\circ - \beta_u)$, $u_{Ar} = u_A \cos \beta_u$, где V_{Ay} — вертикальная составляющая скорости частицы; k — коэффициент уменьшения изображения; y — координата точки A в камере на соответствующем радиусе; $\Delta y'$ и $\Delta x'$ — приращение координат развертки в точке A ; $V' = 100$ м/с — скорость движения фотопленки; β_v и β_u — углы наклона к радиусу касательной к траектории частицы и к линии тока соответственно; α — угловая координата радиуса, на котором находится точка A .

В формуле для V_{Ay} верхние знаки сложения и вычитания соответствуют компенсации, когда скорость пленки и изображения частицы совпадают по направлению, нижние — раскомпенсации при противоположном направлении указанных скоростей. Для определения скоростей вдоль линии тока нужно использовать необходимое количество пересечений линии тока с траекториями частиц. Иногда для этого достаточно проследить траекторию одной частицы от периферии камеры к центру.

Рассмотренная методика в полной мере приемлема для определения направления потока в точке выброса частиц, а при достаточном количестве этих точек и для построения мгновенной линии тока в плоскости камеры, в том числе в торцевом пограничном слое. Методика измерения скорости применима для равноскоростного поля по высоте камеры

или так называемого *полного* поля скоростей в ядре потока. В случае *неполного* поля скоростей, а также в случае пограничного слоя неясно, на каком расстоянии от плоской стенки находится частица алюминия. Эта неопределенность остается даже при сохранении направления скоростей по высоте канала. Впрыском частиц в поток через боковое отверстие в трубочке 6 (см. рис. 1) можно задать положение частиц и рассчитывать скорости при любом поле скоростей, даже в торцевом пограничном слое. Однако при развитой турбулентности неопределенность остается, так как частицы будут расходиться по высоте канала.

Методика дает некоторую ошибку в измерении скорости, связанную с нестационарностью течения, так как измерение скорости по траекториям частиц производится через 0,2–1,0 мс после их выброса в поток. Эту ошибку можно оценить и учесть, если известно изменение углов β_u в ядре потока и торцевом пограничном слое вдоль радиуса камеры в течение переходного процесса.

Использование трубочек для вывода частиц алюминия нежелательно, так как они нарушают картину течения. Наиболее подходящим с этой точки зрения является выброс частиц в ядро потока через отверстие в стенке, но тогда возникает вопрос о пробивной способности струи частиц, а именно: попадают ли частицы в ядро потока, преодолев пограничный слой? Для решения этого вопроса ставились специальные эксперименты и проводилась оценка пробивной способности струи с использованием решения дифференциального уравнения $F_c = ta_z$, где a_z — ускорение частицы по высоте канала. Для $\rho_u = 40 \text{ кг}/\text{м}^3$, $D = 5 \text{ мкм}$ и начальной скорости струи частиц 100 м/с, определенной из разверток по промежутку времени между взрывом фольги и выбросом частиц в поток, струя за 0,1 мс преодолевает расстояние не менее 5 мм. Поэтому для определения скорости потока рассмотренные способы впрыска частиц равноценны.

3. Определение скорости потока по результатам измерений температуры, полного и статического давлений. Методика измерения полного P_0 и статического P давлений представлена в работе [9]. Предполагалось, что течение изэнтропично, и по известному отношению P/P_0 определялись величины $M = u/a$, T/T_0 , ρ/ρ_0 , где M — число Маха потока; a — скорость звука; T и T_0 — статическая температура и температура торможения потока; ρ и ρ_0 — статическая и полная плотности потока. Измерение величины T_0 и использование уравнения состояния $RT_0 = P_0/\rho_0$ позволили вычислить a , u , ρ_0 и ρ . По углам β_u , измеренным по трекам, определялись значения u_T и u_r . Кривые P_0 и P на осциллограммах имели малые пульсации, которые в данной работе усреднялись, поэтому усреднялись и вычисленные на их основе другие параметры.

Поскольку измерения температур производились в переходном режиме, необходима оценка разрешающей способности термопар. Известно, что при обтекании тел с высокой теплопроводностью их нагрев определяется теплопередачей от газа. Чтобы термопара могла «следить» за температурой потока, ее нагрев должен быть таким же, как возможное охлаждение газа в пограничном слое: $q_t \approx q_r$. Для случая термопары в виде тонкой пластины имеем $c\delta S\rho\Delta T \approx \alpha_r 2S\Delta T\Delta t = (Nu \lambda/\delta)2S\Delta T\Delta t$, откуда толщина термопары δ должна быть не больше $\delta = [2 Nu \lambda \Delta t / (c\rho)]^{0.5}$, где $c \approx 10^3 \text{ Дж}/(\text{кг}\cdot\text{град})$, $\lambda \approx 4 \cdot 10^{-2} \text{ Дж}/(\text{м}\cdot\text{с}\cdot\text{град})$, $\rho \approx 8 \cdot 10^3 \text{ кг}/\text{м}^3$ — средние теплоемкость, теплопроводность и плотность термопары соответственно; S — площадь боковой поверхности; ΔT — изменение температуры термопары и газа; α_r — коэффициент теплопередачи; $Nu = AR^m Pr^n K_t$ — число Нуссельта; Δt — характерное время измерения температуры потока (разрешающая способность термопары); $K_t = (T_r/T_t)^{0.5}$ — коэффициент переменчивости свойств газа; T_r и T_t — температура газа и термопары соответственно. Для потока с числом Рейнольдса $Re \approx 10^4$, числом Прандтля $Pr \approx 0,72$ и значениями $A = 0,023$, $m = 0,8$, $n = 0,4$, $T_r = T_t$ [10] величина $Nu \approx 30$. При $\Delta t = 10^{-4} \text{ с}$ (характерное время полупериода пульсаций в потоке [9]) толщина термопары

не должна превышать 5,5 мкм. В переходном режиме, длительность которого составляет около 30 мс, $\Delta t \approx 1$ мс, поэтому толщина термопары не должна превышать 17,5 мкм. Длина термопары от места контакта проводников хромель-алюминий должна быть не меньше характерной толщины прогрева металла: $x = (a_t t)^{0,5}$, где $a_t \approx 10^{-6} \text{ м}^2/\text{с}$ — температуро-проводность термопары. Для $\Delta t = 10^{-4}$ с и $\Delta t = 10^{-3}$ с имеем $x \approx 10$ мкм и $x \approx 30$ мкм соответственно. Ширина термопары значения не имеет (если пренебречь градиентом температуры по ширине) и может устанавливаться из соображений удобства изготовления или обеспечения необходимой жесткости.

Используемая в данной работе термопара представляла собой тонкую пластинку толщиной $\delta = 5$ мкм или $\delta = 20$ мкм, шириной около 0,5 мм и длиной около 1 мм. Концы пластины плавно переходили в проволоку диаметром 0,3 мм и на kleю вставлялись в трубочку диаметром 2 мм. Для сварки хромель-алюминиевых проволочек разрабатывалась специальная технология, а заданная толщина рабочей части достигалась расклепыванием проволок в области сварки в сложном устройстве. Тарировка термопары в кипящей воде показала ее соответствие стандартной характеристике: 4,1 мВ на 100 °C [11]. Термопара 13 устанавливалась в гнезда 14, используемые для датчиков давления (см. рис. 1), и могла измерять температуру по высоте камеры от стенки до стенки.

С помощью пластины термопары, ориентированной параллельно потоку, измерялась температура торможения $T_0 = T + \sigma u^2 / (2c_p) = T + \sigma(\gamma - 1)/(2M)$, где σ — коэффициент восстановления температуры торможения [12, 13]; c_p — удельная теплоемкость воздуха при постоянном давлении; γ — показатель изэнтропии. Для имеющихся параметров потока $\sigma \approx Pr^{0,5} = 0,85$. В экспериментах получалось заниженное значение T_0 , причем погрешность не превышала 2,5 %.

4. Результаты измерений и их обсуждение. Мгновенные линии тока, построенные по углам отклонения потока β_u , представлены на рис. 3. Линия тока 1 соответствует торцевому пограничному слою, линии 2–4 — ядру потока в момент времени $t = 10$ мс. Линия тока 2 построена по средним значениям угла β_u и представляет собой две совмещенные спирали Архимеда в областях течения при $r < (2/3)R$ и $r > (2/3)R$ (R — радиус камеры). Линии 3 и 4 — крайние положения линий тока, соответствующие меняющимся режимам течения в переходном режиме.

Изменение углов β_u по времени, радиусу и высоте камеры исследовалось путем впрыска частиц алюминия через вдвигаемые в поток трубочки. Оказалось, что β_u сильно меняются на расстоянии 1–1,5 мм от стенки. Резкое изменение углов β_u вблизи стенки подтверждают данные работы [14] о наличии двух областей течения — в ядре потока и торцевом пограничном слое. Детальное исследование течения в торцевом пограничном слое проведено в работе [15].

Углы β_u в переходном режиме изменяются как в ядре потока, так и в торцевом пограничном слое. В ядре потока в области $r < (2/3)R$ на интервале времени $t < 20$ мс, соответствующем максимальной неустойчивости течения, значения β_u изменяются незначительно в пределах (85 ± 5) °. В области $r > (2/3)R$ значения β_u изменяются в пределах (80 ± 10) °, причем переход от $\beta_u = 90$ ° к $\beta_u = 70$ ° происходит за десятые доли миллисекунды. Эта оценка следует из анализа разброса значений β_u за время истечения частиц, которое иногда достигает 0,5 мс, а также по излому траекторий пучка частиц за время течения в камере. Течение с $\beta_u > 80$ ° наиболее продолжительно. После $t = 20$ мс течение стабилизируется, и вплоть до $t = 300$ мс величина β_u составляет (82 ± 3) ° в области $r > (2/3)R$ и (80 ± 3) ° в области $r < (2/3)R$.

Изменение β_u по времени в торцевом пограничном слое для трех точек $r = 40, 60, 80$ мм показано на рис. 4. Штриховыми линиями проведены границы изменения β_u в ядре потока. Истечение происходило из ресивера объемом $V_p = 3,6$ л, поэтому не было полной

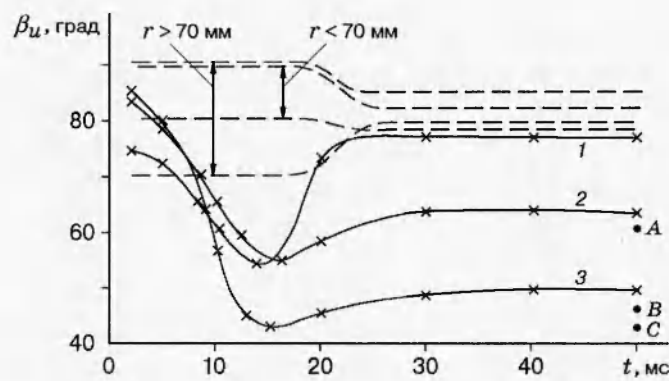


Рис. 4. Изменение β_u по времени в торцевом пограничном слое (сплошные линии) и диапазон изменения β_u в ядре потока (штриховые линии) ($V_p = 3,6$ л):
1 — $r = 80$ мм, 2 — $r = 60$ мм, 3 — $r = 40$ мм; точки — стационарный режим ($V_p = 80$ л):
A — $r = 80$ мм, B — $r = 60$ мм, C — $r = 40$ мм (крестики — экспериментальные
значения)

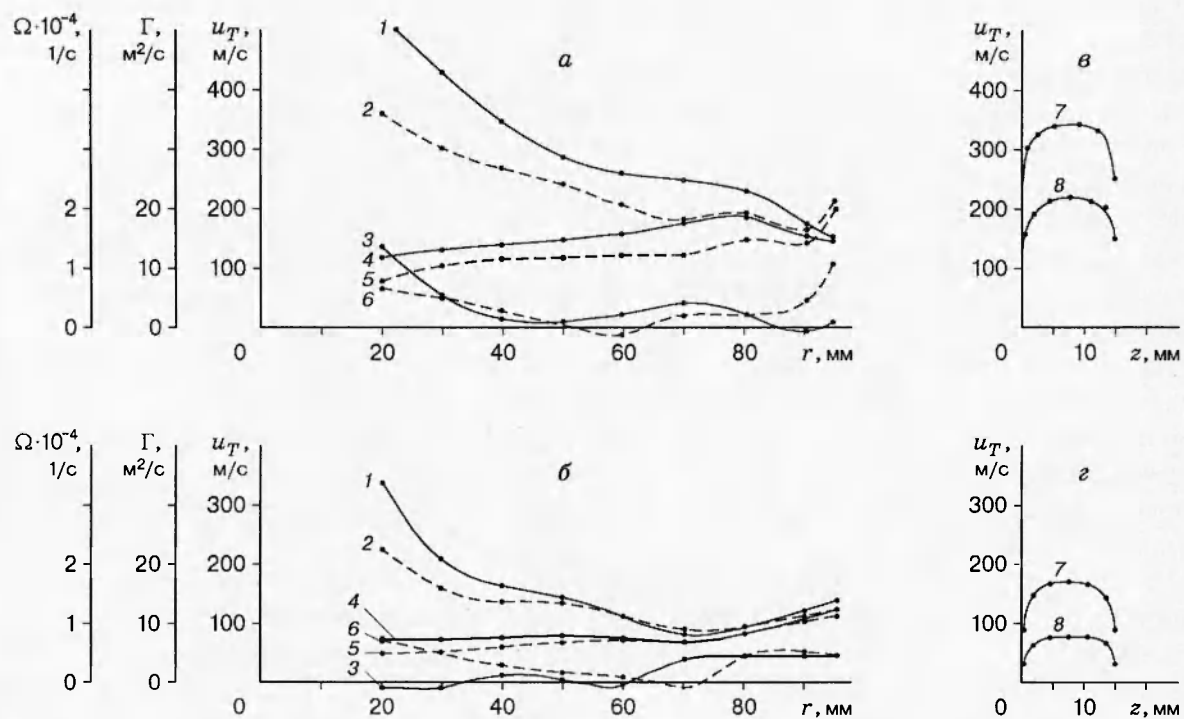


Рис. 5. Завихренности, циркуляции, скорости потока по радиусу камеры и скорости потока
по оси камеры в переходном (а, в) и стационарном (б, г) режимах:
а — $t = 9,5$ мс, $z = 7,5$ мм, $V_p = 3,6$ л; б — $t = 100$ мс, $z = 7,5$ мм, $V_p = 80$ л; в — $t = 9,5$ мс,
 $V_p = 3,6$ л; г — $t = 100$ мс, $V_p = 80$ л; сплошные линии — второй метод, штриховые — первый
метод; 1 — u_T^T ; 2 — u_T^{TP} ; 3 — Ω^T ; 4 — Γ^T ; 5 — Γ^{TP} ; 6 — Ω^{TP} ; 7 — $r = 80$ мм; 8 — $r = 40$ мм
(точки — экспериментальные значения)

стабилизации течения из-за непрерывного изменения (уменьшения) параметров подачи P_0 , T_0 , ρ_0 . Видно, что значительное изменение β_u происходит за время $t < 20$ мс. При этом различие в величине β_u для ядра потока и торцевого пограничного слоя максимально, за исключением моментов перестройки течения, когда углы в обоих течениях сближаются. После $t = 20$ мс углы стабилизируются, причем ближе к периферии различие в углах для ядра потока и торцевого пограничного слоя уменьшается. Вблизи периферии они практически сливаются, а у выхода из камеры два поля течения устойчиво сохраняются. На рис. 4 указаны также значения β_u в торцевом пограничном слое для стационарного режима течения ($V_p = 80$ л) на радиусах $r = 80; 60; 40$ мм (точки A, B, C соответственно). Видно, что различие в углах β_u для торцевого пограничного слоя и ядра потока сохраняется во всем течении. Углы β_u в торцевом пограничном слое измерялись только у стенки, противоположной выходному отверстию. У другой стенки их значения могут быть иными.

Значения скоростей потока в переходном ($t = 9,5$ мс) и стационарном ($t = 100$ мс) режимах вдоль радиуса r и оси камеры z представлены на рис. 5. Изменение скоростей потока во времени для торцевого пограничного слоя ($z = 0,5$ мм) на радиусах $r = 80$ мм и $r = 40$ мм представлено на рис. 6. Приведенные значения скоростей соответствуют рассчитанным по двум методам: первому (трековому) и второму, основанному на измерениях параметров течения. Второй метод считался более достоверным, так как основывался на точном положении датчиков в поле скоростей. Трековый метод не позволяет фиксировать положение светящейся частицы алюминия по оси камеры, за исключением момента выброса ее в поток, поэтому значения скоростей, измеренных этим методом, сравнивались со значениями, вычисленными по второму методу. Сравнение производилось по тангенциальным составляющим скоростей (u_T^T и u_T^{TP}), так как трековый метод позволяет точно фиксировать именно тангенциальную составляющую скорости u_T^P .

На рис. 5 видно, что при $t = 9,5$ мс и $z = 7,5$ мм скорости близки только у периферии камеры. Для других моментов переходного процесса характер изменения скоростей вдоль радиуса примерно одинаков. В стационарном режиме область близких значений скоростей расширяется до $r = 60$ мм. С уменьшением радиуса происходит их расхождение, причем $u_T^T > u_T^{TP}$. Вдоль оси камеры z (направление z выбрано к выходному отверстию) $u_T^T \approx u_T^{TP}$ в торцевом пограничном слое. Сближение скоростей сохраняется и во времени в течение всего переходного процесса (см. рис. 6), а также с выходом на стационар ($V_p = 80$ л).

Приведенные результаты указывают на то, что наряду с сепарацией частиц алюминия по радиусу камеры происходит их концентрация в торцевом пограничном слое. Внутри торцевого пограничного слоя тяжелые частицы проникают в область с наименьшей тан-

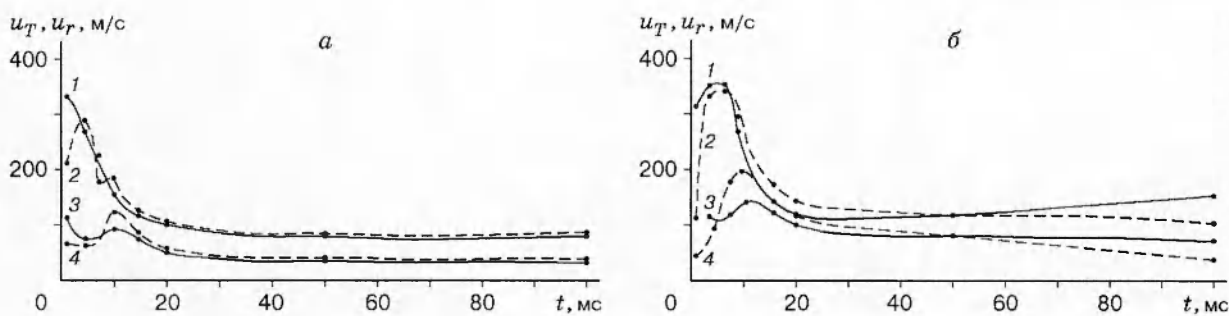


Рис. 6. Изменение скоростей потока во времени в торцевом пограничном слое ($z = 0,5$ мм, $V_p = 3,6$ л):

$a — r = 80$ мм, $b — r = 40$ мм; сплошные линии — второй метод, штриховые — первый метод; 1 — u_T^T ; 2 — u_T^{TP} ; 3 — u_r^{TP} ; 4 — u_r^T (точки — экспериментальные значения)

генциальной скоростью потока. На рис. 6 видно, что в области $r < (2/3)R$ ($r = 40$ мм) с течением времени ($t > 50$ мс) они концентрируются ближе 0,5 мм от стенки. В стационарном режиме в области $r > (2/3)R$ концентрации частиц в пограничном слое не происходит из-за развитой крупномасштабной турбулентности потока [9], поэтому трековым методом регистрируются скорости, характерные для обеих областей течения.

Причиной переноса частиц алюминия могут быть силы Магнуса, возникающие в вязком потоке при обтекании вращающихся частиц, что имеет место при развитой турбулентности. Вектор угловой скорости вращения может занимать любое положение, и после выброса в поток частицы будут двигаться хаотично. Попадая в торцевой пограничный слой, где турбулентность затухает и происходит диссиляция энергии вращения частиц, в дальнейшем они его не покидают. Концентрация частиц в торцевом пограничном слое происходит в течение десятых долей миллисекунды после выброса в поток.

Радиальные скорости воздуха в ядре потока невелики и составляют около 15 % от u_T . Их значения растут с уменьшением радиуса камеры. Для торцевого пограничного слоя они сравнимы со значениями u_T и растут с уменьшением радиуса (см. рис. 6).

Течение в переходном режиме во всей камере вихревое, на что указывают значения циркуляции $\Gamma = u_T r$ и завихренности $\Omega = u_T/r + \partial u_T / \partial r$ (см. рис. 5). Особенno велика завихренность у периферии камеры и выходного отверстия. В стационарном режиме завихренность в ядре потока остается в области $r > (2/3)R$. Здесь реализуется течение, близкое к квазиверному вращению. В области $r < (2/3)R$ имеет место $\Gamma \approx \text{const}$ и $\Omega \approx 0$, поэтому реализуется течение, близкое к течению в потенциальном вихре. Для торцевого пограничного слоя Ω сохраняется вдоль всего радиуса.

5. Выводы. 1. Разработаны методики определения скорости потока в вихревой плоскорадиальной камере в стационарном и переходном режимах: по трекам горящих частиц алюминия в воздухе и по результатам измерения температуры, полного и статического давлений.

2. Экспериментально подтверждено наличие двух областей течения: в ядре потока и торцевом пограничном слое. Измерены направления потоков в обеих областях в переходном и стационарном режимах.

3. В переходном режиме течение во всем объеме камеры вихревое. В стационарном режиме в ядре потока от периферии до 2/3 радиуса камеры течение приближается к квазиверному вращению, а в промежутке между указанной областью и выходным отверстием течение приближается к течению в потенциальном вихре.

4. Выявлен эффект концентрации частиц тяжелее воздуха (горящих частиц алюминия) в торцевом пограничном слое.

ЛИТЕРАТУРА

1. Bykovskii F. A., Mitrofanov V. V., Vedernikov E. F. Autoignition in rotational flow of combustible mixture // Proc. of the 16th Intern. colloquium on the dynamics of explosions and reactive systems. Cracow (Poland): Univ. mining and metallurgy, 1997. P. 297, 298.
2. Быковский Ф. А., Митрофанов В. В., Ведерников Е. Ф. Самовоспламенение в потоках газовых смесей // Докл. РАН. 1998. Т. 358, № 4. С. 487–489.
3. Гольдштих М. А. К теории эффекта Ранка (закрученный поток газа в вихревой камере) // Изв. АН СССР. Отд-ние техн. наук. 1963. № 1. С. 132–137.
4. Лебедев А. В., Правдина М. Х. Плоская модель течения в вихревой камере. 2. Турбулентная вязкость в периферийной области // Теплофизика и аэромеханика. 1996. Т. 3, № 4. С. 317–320.

5. Волчков Э. П., Кардаш А. П., Терехов В. И. Гидродинамика вихревой камеры с гиперболическими торцевыми крышками // Изв. СО АН СССР. Сер. техн. наук. 1981. № 13, вып. 3. С. 33–41.
6. Лебедев А. В., Правдина М. Х. Экспериментальное исследование давления в приосевой области вихревой камеры // Теплофизика и аэромеханика. 1995. Т. 2, № 1. С. 21–27.
7. Быковский Ф. А., Ведерников Е. Ф. Коэффициенты расхода насадков и их комбинаций при прямом и обратном течении // ПМТФ. 1996. Т. 37, № 4. С. 98–104.
8. Взрывающиеся проволочки / Под ред. А. А. Рухадзе. М.: Изд-во иностр. лит., 1963.
9. Быковский Ф. А., Ведерников Е. Ф. Течение в вихревой плоскорадиальной камере. 2. Вихревая структура течения // ПМТФ (в печати).
10. Баррер М., Жомотт А., Вебек Б. Ф., Ванденкерхове Ж. Ракетные двигатели. М.: Оборонгиз, 1962.
11. Турчин А. М. Электрические измерения неэлектрических величин. М.: Госэнергоиздат, 1959.
12. Шлихтинг Г. Теория пограничного слоя. М.: Наука, 1974.
13. Борисенко А. И. Газовая динамика двигателей. М.: Оборонгиз, 1962.
14. Гольдштик М. А. Вихревые потоки. Новосибирск: Наука. Сиб. отд-ние, 1981.
15. Волчков Э. П., Семенов С. С., Терехов В. И. О торцевом пограничном слое в вихревой камере // Структура вынужденных и термогравитационных течений: Сб. науч. тр. Новосибирск: Ин-т теплофизики СО АН СССР, 1983. С. 51–87.

Поступила в редакцию 10/III 1998 г.,
в окончательном варианте — 3/XII 1998 г.